DER PHYSIK UND CHEMIE.

BAND CXLI.

Ueber eine neue optische Methode; die Schwingungen tönender Luftsäulen zu analysiren; von Toepler und Boltzmann in Graz.

§. 1.

Bereits im 128. Bande (S. 108) dieser Annalen wurde von Toepler durch eine Reihe von Versuchen auf die Vortheile hingewiesen, welche das stroboskopische Prinzip bei der Beobachtung schwingender Bewegungen bietet. Betrachtet man einen schwingenden Körper z. B. eine Saite bei intermittirendem Lichte, und ist die Schwingungsdauer der Saite nur sehr wenig verschieden von dem Zeitintervall, in welchem die intermittirende Lichtquelle je einmal aufleuchtet, so sieht man die Saitenschwingung mit allen ihren Eigenthümlichkeiten ganz langsam stroboskopisch reproducirt. Die Schwingungsdauer der stroboskopischen Bewegungserscheinung berechnet sich aus der Differenz zwischen Lichtintermittenz und Saitenschwingung genau so, wie die Schwebungen zweier sehr nahe gleichgestimmter Töne. Man kann also unter Beachtung der nöthigen Vorsichtsmassregeln stehende Schwingungen vieler Körper fast beliebig verlangsamt sehen und unter günstigen Verhältnissen ihre Details mit Messinstrumenten verfolgen, wie jede andere langsame Bewegungserscheinung.

Vom größten Interesse war es nun, bei den Pfeifentönen unmittelbar die Luftschwingungen beobachten zu können, da durch solche Beobachtungen eine Reihe von bis jetzt experimentell sehr schwer zugänglichen Fragen (z. B. die Intensitäts - und Phasenverhältnisse der Partialtöne eines Pfeifenklanges) der Beobachtung und Messung unterworfen werden können. Nach einem Vorschlage von Boltzmann war ein günstiger Erfolg zu erwarten, wenn die Strahlen ein und derselben intermittirenden Lichtquelle zur Hälfte durch rohende, zur Hälfte durch schwingende Luft geführt, und dieselben später zur Interferenz gebracht wer-Da hierbei die letzteren Strahlen durch den Wechsel von Verdichtung und Verdünnung abwechselnd eine Verzögerung und eine Vorauseilung erfahren, so muss eine schwingende Bewegung der Interferenzstreifen entstehen, welche wegen der Intermittenz der Lichtquelle nach dem stroboskopischen Princip verlangsamt erscheint, also durch Messung verfolgt werden kann. Aus der gemessenen Bewegung der Interferenzstreifen lässt sich alsdann ohne Schwierigkeit die Bewegung der schwingenden Luftsäule berechnen. Die gebotenen Vortheile sind augenfällig, da man neben der Art und Intensität der Bewegung auch gleichzeitig mit größter Schärfe die Schwingungsdauer bestimmen kann.

Es wurde zu dem Ende von Toepler ein Apparat construirt, welcher den Vorschlag zunächst auf gedeckte Pfeifen anzuwenden erlaubt. Mit diesem Apparat haben wir eine Reihe von Messungen über Intensitätsverhältnisse usw. der Luftschwingungen angestellt. Dabei hat sich thatsächlich herausgestellt, dass nach möglichster Vermeidung der praktischen Schwierigkeiten durch das nunmehr erweiterte vibroskopische Princip ein Beobachtungsverfahren geboten ist, welches sich in Bezug auf die Messung kleiner Zeitgröfsen unbedenklich als ein sehr genaues Hülfsmittel bezeichnen läst, wie die im zweiten Paragraphen mitgetheilten Resultate beweisen.

Beschreibung des Apparates. Zur Herstellung des stroboskopischen Sehens mußte zunächst eine bequem und genau regulirbare, intermittirende Lichtquelle geschaffen werden. Es wurde zu diesem Zwecke die bekannte Helmholtz'sche Unterbrechungsgabel an den beiden Zinken mit leichten Spaltenschirmen versehen, welche dicht hinter-

einander stehen und bei der Anregung der Gabel in entgegengesetztem Sinne schwingen. Die Spalten lassen nur beim Uebereinandergleiten in der Mittelstellung je einmal ganz kurze Zeit die Strahlen einer dahinter gestellten Lichtquelle hindurch. Fig. 1, Taf. IV zeigt die Zinkenenden a und b der horizontal gestellten Gabel. Auf das Zinkenende a ist ein Schuh fest aufgeschraubt, welcher ein sehr leichtes Blechrähmchen c mit rechteckiger Oeffnung trägt. dieses Rähmchen kann durch kleine Schrauben eine dünne Blechplatte d aufgeschraubt werden, so dass die rechteckige Oeffnung in c bis auf eine Spalte von beliebig zu wählender Weite verdeckt ist. An dem unteren Stimmgabelende b ist eine ganz analoge Vorrichtung angeschraubt, bei welcher jedoch alle Theile in umgekehrter Lage geordnet sind. Die beiden Spaltenvorrichtungen schwingen so nahe hintereinander, als es ohne gegenseitige Störung zulässig ist. sind die mit verstellbaren Fortsätzen FF versehenen Pole des Elektromagneten. G und G die auf den Zinken verschiebbaren Laufgewichte zum Tieferstimmen. Eine Erhöhung des Tones der Gabel erhält man, indem man die parallelen Beine der Gabel durch eine in der Figur nicht weiter angedeutete, eigenthümliche Klemmvorrichtung vom Grunde der Gabel aus successive verkürzt.

Die obere Gabelzinke dient zur Stromunterbrechung in den Windungen des Elektromagneten E und somit zur selbstthätigen Unterhaltung der Schwingungen. Es tritt nämlich bei a ein gekrümmter Stift hervor (in der Figur nicht abgebildet), welcher seitlich in ein Quecksilbernäpfchen eintaucht, so dass der durch die Gabel und den Elektromagneten geleitete Strom beim Auswärtsschwingen unterbrochen wird, wie bei der Helmholtz'schen Gabel. Man kann jedoch die Excursionen beträchtlich steigern, wenn man dafür sorgt, dass die Stromschließung während der Auswärtsbewegung des Gabelendes a sehr merklich länger dauert, als bei der Abwärtsbewegung. Diesen Zweck erreicht man am einfachsten durch einen kupfernen, am Ende conisch verjüngten Unterbrechungsstift. Derselbe ist ganz

mit isolirender Substanz überzogen und nur seine Endfläche, welche versuchsweise bis auf einen passenden Querschnitt abgefeilt wird, ist nackt. An diesem adhärirt das Quecksilber durch Amalgamation leicht in Form eines Fadens. Wird nun die Gabel stark augeschnellt, indem man gleichzeitig den Quecksilbernapf durch Handhabung einer Schraube von unten nähert, so wachsen die Excursionen sehr rasch und das Auge sieht den Unterbrechungsfunken um etwa 2mm gewissermaßen über der Quecksilberobersläche schweben. Unsere Gabel giebt bei ihren tieferen Tönen mit einem Zink-Eisenbecher leicht Excursionen von 6 bis 7mm 1), und schwingt so viele Stunden fort. Das Quecksilber wird nicht mit Alkohol oder Wasser bedeckt.

Da bei unserer Einrichtung die Relativbewegung beider Spalten gleich zu setzen ist der doppelten Bewegung einer einzigen Spalte, so ist leicht zu erkennen, dass man zur Herstellung des stroboskopischen Sehens ziemlich weite Spalten anwenden kann, was mancherlei Vortheile hat. Man kann die Spaltenvorrichtung natürlich sehr bequem auch zur subjectiven Beobachtung von Schwingungen benutzen, indem man durch die vibrirenden Spalten mit Auge oder Fernrohr nach dem abgestimmten, schwingenden Körper hinblickt. Bei den vorliegenden Beobachtungen waren die Spalten stets vor der Oeffnung eines Heliostaten aufgestellt, um ein intermittirendes Strahlenbündel zu erhalten. Hervorzuheben ist für alle Benutzungen der Gabel, dass sich die Spalten genau beim Durchgang durch ihre Ruhelage und nicht früher oder später decken müssen, da sonst die Lichtintermittenz, welche zweimal während einer Gabelschwingung wiederkehrt, zwei ungleiche Zeitintervalle bildet.

¹⁾ Bemerkung. Denselben Erfolg könnte man, wie leicht einzusehen auch dadurch erzielen, dass man zwei genau gleichgestimmte Unterbrechungsgabeln derart combinirt, dass je eine den Strom des Elektromagneten der anderen unterbricht. Die Schwingungen würden einen Phasenunterschied von † Schwingung annehmen, so dass jede Gabel nur während der günstigen Hälfte ihrer Bewegung von ihrem Magneten afficirt würde.

Damit das stroboskopische Sehen deutlich werde, muß die Zeit, während welcher Licht durch die Spalten dringen kann, immer klein seyn im Verhältniß zu der Zeit einer Halbschwingung der Gabel. Nennt man letztere Zeit T, die Zeit des Lichtdurchganges t, ferner b die Spaltenweite und a die Amplitude der Bewegung, so findet sich leicht, daß

$$t = \frac{2T}{\pi} \cdot \arcsin \frac{b}{2a}$$

oder bei kleiner Spaltweite

$$\frac{t}{T} = \frac{b}{\pi a}$$
 ist.

Ist also b = 1 Mllm., a = 3 Mllm., so ist das Verhältniss

$$\frac{t}{T}$$
 nahe $=\frac{1}{9}$,

was bei den Versuchen bereits genügt. Trägt man die Zeit als Abscisse, die Helligkeit als Ordinate auf, so gestaltet sich der periodische Verlauf der Helligkeit graphisch, wie in Fig. 2 Taf. IV 1).

Vor der Beschreibung der andern Theile des benutzten Pfeifenapparates verweisen wir zunächst auf die Skizze Fig. 3, aus welcher die allgemeine Zusammenstellung ersichtlich ist. Auf die richtige Wiedergabe der Dimensionen ist hierbei nicht Rücksicht genommen; dieselben finden sich H ist ein Heliostat, in dessen Rohr eine weiter unten. mikrometrisch zu regulirende Spalte s eingesetzt ist. Dicht vor derselben werden die vibrirenden Stimmgabelspalten v genau in demselben Niveau aufgestellt. Auch die Spalte s hat bei den Versuchen, wie unten zu ersehen, einen bestimmten Zweck. Die horizontalen Lichtstrahlen gelangen von v aus auf das Ende der lothrecht gestellten Pfeife P. Dieselbe hat eine dünne, genau eben geschliffene Deckplatte e von Eisen, welche hermetisch an die Plangläser gg schliefst. Letztere bilden zur Hälfte Theile der Pfeifenwand, zur Hälfte ragen sie über die Platte e hervor. Die Pfeife ist

¹⁾ Auch Prof. Mach in Prag benutzt die elektromagnetische Gabel, jedoch mit einfachem Spaltenschirm zu vibroskopischen Versuchen.

so aufgestellt, dass die von v ausgehenden Lichtstrahlen halb durch die Pfeife, halb dicht über der Deckplatte durch die beiden Glasscheiben gg gehen. In der Richtung der Strahlen folgt dann ferner das Interferenzprisma f, mit seiner brechenden Kante ebenfalls genau in die Ebene der Platte e eingestellt. Wird durch einen Schirm d mit entsprechender Oeffnung störendes Seitenlicht abgehalten, so kann man sehr leicht in einiger Entfernung hinter der Pfeife die Fresnel'schen Interferenzlinien beobachten. Zu dem Ende ist ein Rohr k mit Lupe o und Fadenkreuz i in der Strahlenrichtung aufgestellt, so dass das beobachtende Auge den Kreuzungspunkt der Fäden auf der Interferenzerscheinung deutlich projicirt sieht.

Sehen wir vorläufig von weiteren Einzelnheiten ab, so ist klar, dass durch das Tönen der Pfeife die Lichtstrahlen, welche durch die Pfeife gingen, im Momente der Luftverdichtung eine Verzögerung, bei der Luftverdünnung eine Vorauseilung erfahren. Im ersten Falle müssen die Interferenzstreifen nach abwärts, im zweiten nach aufwärts vor dem Fadenkreuz rücken, wie ohne Erörterung zu verstehen ist. Sind die Stimmgabelspalten in Ruhe, so dass also constant Licht auf die Pfeife fällt, so schwingt die Interferenzfigur so schnell wie der Pfeifenton. Daher wird die Erscheinung beim Anblasen der Pfeife sofort verworren, weil das Auge den Schwingungen nicht folgen kann. aber die Stimmgabel schwingt, das Licht also intermittirt, so tritt stroboskopisches Sehen ein und bei hinreichendem Einklange kann die Dauer einer Schwingung der Streifen sehr leicht bis auf 5 Sec. und mehr gebracht werden.

Soll die stroboskopische Bewegung der Interferenzfigur gemessen werden, so sind jedoch mancherlei Schwierigkeiten zu beachten, welche bei unserem Apparate aber glücklich beseitigt werden konnten. Zunächst ist die Bewegung der Interferenzstreifen bei einmaligem Durchgang des Lichtes durch die Pfeifendicke zwar sichtbar, aber viel zu klein zu genauen Messungen. Es wurde daher das Licht zwischen den Platten gg Fig. 3 Taf. IV sowohl innerhalb als

außerhalb der Pfeife durch Spiegelung oftmals hin und her geführt, bevor dasselbe auf das Prisma f gelangte. Beschaffenheit des gedeckten Pfeifenendes ist deutlicher aus Fig. 4 Taf. IV zu ersehen. Die Glasplatten gg waren kreisförmig und so genau planparallel, dass sie mit dem Theodoliten geprüft keine messbare Ablenkung hindurchgehender Strahlen bewirkten. Auf der äußeren Seite wurden sie bis auf ein kleines Segment belegt, wie aus den schraffirten Theilen der Fig. 4 zu ersehen ist. Die Platten passten in halbkreisförmige Ausschnitte der Holzwände der Pfeife und waren 3 Mllm. dick, während die Wanddicke der Pfeife etwa 8 Mllm. betrug. Zuerst wurde nun die geschliffene Eisenplatte e auf die ganz ebenen Ränder der Pfeife aufgelegt und mit (in der Figur weggelassenen) Eisenschienen und Schrauben unwandelbar befestigt. Alsdann wurden die Glasplatten an die geschliffenen Kanten rr der Deckplatte dicht angelegt und mit Klebwachs am Holze leicht befestigt. Durch Druck mit dem Finger ist es nun bequem dahin zu bringen, dass die spiegelnden Flächen genau parallel stehen, was daran zu erkennen ist, dass beim Hineinschauen durch eine der unbelegten Stellen die vielfachen Spiegelbilder der Platte e genau eine einzige Ebene zu bilden scheinen. Auf diese Weise konnte es erreicht werden, dass die in der Richtung von s Fig. 4 einfallenden Strahlen in und außerhalb der Pfeife 11 mal die Pfeifendicke durchliefen und doch noch später sehr schöne Interferenzlinien zeigten (natürlich nur bei directem Sonnenlicht).

Nachdem in der eben besprochenen Weise die Spiegel justirt waren, wurde das ganze Pfeifenende zur vollkommenen Dichtung und Befestigung mit Wachs umgossen (natürlich mit Ausnahme des Theils der Deckplatte e gerade zwischen den Spiegeln). Es ist jedoch noch eine Schwierigkeit zu beseitigen, welche sich alsbald bei Vorversuchen herausstellte. Trotz der dicken Holzwände der Pfeife und der Verschraubungen am Ende derselben hat man bei starkem Tönen auf die Bewegung der Pfeifenwände Rücksicht zu nehmen. Durch das Mitschwingen der Wände entsteht

nämlich eine Vibration der Spiegel, welche ohne Vorsichtsmaßregeln sogar eine weit größere Bewegung der Interferenzfigur veranlassen kann, als der Wechsel der Luftdichte in der Pfeife 1). Es genügte jedoch vollkommen, das Pfeifenende, bevor die Spiegel nach obiger Vorschrift eingesetzt wurden, von allen vier Seiten her in sehr starke, schwere, hufeisenförmige Klemmvorrichtungen sehr fest einzuspannen (auch diese sind in der Figur weggelassen). Ferner ist, wie Fig. 3 nur andeutet, das Interferenzprisma mit der Pfeifenwand fest verbunden. Natürlich würde eine Erschütterung des Prisma ebenso schädlich seyn, wie die der Spiegel. Aber jene Einklemmung des Pfeifenendes beseitigt diese Störungen hinreichend. Man hat außerdem ein sehr bequemes Mittel, vor jedem Versuch den Einfluss der Wanderschütterung zu controliren. Man braucht nur die untere Hälfte der Glasscheibe gg Fig. 3 Taf. IV zu verdecken, so dass nur Licht über der Pfeise aufs Prisma fällt. man dann Prisma und Lupe auf ihren Trägern etwas aufwärts, so erscheint eine Interferenzfigur von solchen Strahlen, die nur außerhalb der Pfeife verlaufen. Schwingen nun die Streifen beim Tönen der Pfeife mit, so rührt in diesem Falle die Bewegung allein von den Spiegeln oder dem Prisma her. Es war nun dieser Fehler durch obiges Hülfsmittel zwar nicht absolut zu vermeiden, denn bei möglichst starkem Anblasen gab die Wanderschütterung immer noch bei elfmaliger Reflexion eine Verschiebung der Interferenzfigur um etwa die Breite eines Interferenzstreifens. Allein ihr Einfluss konnte thatsächlich vernachlässigt werden bei den mässigen Pfeifentönen, welche in den ersten Versuchsreihen des folgenden Paragraphen gemessen wurden. Die durch die Luftschwingungen veranlasste Streifenverschiebung betrug hingegen selbst bei den schwächsten Pfeifentönen mehrere ganze Streifenabstände.

Aus diesem Grunde ist das Resultat der Vorversuche, welches in einer Notiz des K. K. akademischen Anzeigers in Wien mitgetheilt wurde, etwas zu groß; man vergleiche die unten mitgetheilten genauen Messungen.

Wir wollen nun beschreiben, wie mit dem Apparate genaue Messungen ausgeführt werden. Es sey daher vorausgesetzt, dass die Pfeife durch einen constanten Luftstrom angeregt werde, von dessen Erzielung noch unten die Rede seyn wird. Ferner seyen Stimmgabel und Pfeife so abgestimmt, dass die stroboskopische Schwingung der Interferenzlinien etwa 3 bis 5 Sekunden dauert. Das Fadenkreuz wird zu den Streifen so angestellt, wie es Fig. 5, Taf. IV zeigt. Es ist nun bekannt, dass man zwar nicht mit Genauigkeit eine beliebige Stellung des Fadenkreuzungspunktes zwischen ie zwei benachbarten Streifen abschätzen kann; es ist aber nicht minder bekannt, dass man mit einer sehr bemerkenswerthen Genauigkeit erkennen kann, wenn der Kreuzungspunkt mit der Mitte eines dunklen oder hellen Streifens coincidirt, wovon man sich leicht überzeugt, wenn man das Kreuz irgend eines feinen Winkelmessapparates mikrometrisch wiederholt auf ein und denselben Streifen einstellt. Man erhält übereinstimmende Resultate, namentlich, wenn man durch passende Regulirung der Spaltenbreite die Streifen recht schwarz erscheinen läfst. Diefs ist aber mittelst der fixen Spalte s, welche mitten hinter der intermittirenden Spalte v steht, (Fig. 3 Taf. IV) während des Versuches ohne Störung der übrigen Theile möglich.

Es erhellt aus dem Gesagten, dass man auch bei langsamer Schwingung der Streifen nach oben und unten mit großer Zuverlässigkeit die Zeitpunkte angeben kann, in denen das Fadenkreuz scheinbar gerade über die Mitte eines hellen oder dunklen Streifens rückt. Bei unseren Versuchen war es nicht nöthig, monochromatisches Licht zu benutzen, da wir vorläufig nur Pfeifenklänge untersuchten, bei denen in Maximo fünf dunkle Streifen bei einer Schwingung durchs Fadenkreuz gingen. Die mittleren Streifen der Interferenzfigur sind aber kaum farbig gesäumt, so dass wir im Interesse der Helligkeit weißes Licht wählen konnten, dann aber natürlich in der Rechnung die Wellenlänge der hellsten Spectralstrahlen zu Grunde legen mußten.

Der Beobachter hatte nun, ins Ocular o Fig. 3 Taf. IV

blickend, einen Taster T zur Hand, mit welchem ein galvanisches Element E geschlossen werden konnte, so dass auf dem Papierstreifen eines elektromagnetischen Registrirwerkes R die obigen Durchgangspunkte registrirt wurden. Zugleich aber war in einer anderen Schließung ein in der Figur nicht verzeichnetes Secundenpendel eingeschaltet, welches auf demselben Papierstreifen Sekundenpunkte markirte. Auf diese Weise war es möglich, die registrirten Beobachtungen auf absolutes Zeit-Mass umzurechnen. Es ist nun sofort klar, dass die Abstände der vom Beobachter registricten Punkte periodisch variiren müssen und dass aus denselben bei hinreichender Anzahl der registrirten Punkte der Verlauf der Dichtigkeitsänderung im Knoten, also auch die Bewegung der Luftheilchen in der Pfeife und Intensitätsverhältnisse der etwa vorhandenen Obertöne berechnet werden können.

Als Beispiel geben wir in Fig 6 Taf. IV naturgetreu in wirklicher Größe das Ansehen eines Stückes des Streifens, welcher zu den ersten Messungen des folgenden Paragraphen diente, Messungen bei sehr geringer Tonstärke, welche, wie die Rechnung zeigt, bis auf eine äußerst kleine mittlere Differenz mit einer einfachen Sinusbewegung der Lufttheilchen übereinstimmen. In der Horizontallinie von m bis m' sind die vom Secundenpendel markirten Punkte, in der Linie nn' die Punkte des Beobachters zu finden. Eine ganze Auf- und Abwärtsbewegung der Interferenzlinien umfasst also das Stück des Papiersteifens von E' bis F. Man sieht, dass jede Halbschwingung durch fünf Punkte (wie z. B. C' B' A B C) dargestellt ist. Diese Punkte bezeichnen die Augenblicke, in welchen nach einander Helligkeitsmaxima und Minima der Interferenzfigur durchs Fadenkreuz gingen. Da der Beobachter unwillkürlich kurze Striche schreibt deren Länge veränderlich ausfällt, so ist es bei der Messung nöthig zu wissen, in welcher Richtung der Schreibstift des Registrirwerkes auf dem Papierstreifen geschrieben hat. Diese Richtung ist in Fig. 6 Taf. IV durch einen Pfeil an-Man hat also bei der Messung der Zeitabstände gedeutet.

die links befindlichen Anfangspunkte der Striche ins Auge zu fassen, was durch punktirte Vertikallinien angedeutet ist.

Endlich ist noch die Gebläsevorrichtung zu erwähnen. Die Herstellung eines hinreichend constanten Luftstromes war bei den Versuchen die größte praktische Schwierigkeit, da die Schwingungszeit der Interferenzfigur so äußerst sen sibel für sehr kleine Schwankungen in der Tonhöhe der Pfeife ist; die letztere steigt bekanntlich mit der Stärke des (Am geeignetsten wäre wohl ein Wassertrommel- oder Centrifugalgebläse). Nach mehreren Versuchen gelang die Erzielung eines genügend constanten Luftstromes auf folgende Weise. In Fig. 3 Taf. IV stellt L den etwa 2 Kubikfuss fassenden Windfang eines Doppelgebläses dar. Zwei unterhalb befindliche, kleine Blasebälge pumpen Luft in L, wenn man eine seitliche, (nur punktirt angedeutete) Hebelvorrichtung rr handhabt. Die Wände von L waren dünne, bewegliche Holzplatten mit Lederdichtung. Wind gelangt durch eine Leitung von u bis w zur Pfeife. Ist L durch Gewichte belastet, so kann man allerdings die Thätigkeit des Pumpenwerks so einrichten, dass ein Holzstab a, welcher mit seinem oberen Ende über den Gebläsetisch hervorragt, stets ein und dieselbe Höhe beibehält, was an einem seitlich angebrachten Zeiger z mit Leichtigkeit beurtheilt werden kann. Allein das Belastungsgewicht schwankt dabei und bewirkt durch seine träge Masse in L Stöse, welche sich wellenartig bis zur Pfeife forspflanzen. Diese Stöße aber müssen die Erscheinung trüben. Wenn man bedenkt, dass eine stroboskopische Streifenschwingung von 5 Secunden Dauer nicht weniger als 900 Pfeifenschwingungen zusammenfasst, so ist leicht zu verstehen, dass durch rasche Schwankungen in den gesetzmäßigen Elongationen ein Mattwerden der bewegten Interferenzstreifen entsteht. welches dieselben leicht bis zur Unkenntlichkeit verwischt. Der Masseneinfluß des Belastungsgewichtes läßt sich zum größten Theile unschädlich machen, indem man dasselbe gänzlich durch eine leichte, aber starke Feder F Fig. 3 Taf. IV ersetzt, welche mit Hülfe des Zeigers z wie oben auf nahe constanter Spannung erhalten wird. Nun blieben hauptsächlich noch die Stöße der Klappenventile unschädlich zu machen. Diess gelang denn auch, indem zwischen Gebläse und Pfeife zwei sehr große Glasballons eingeschaltet wurden, von denen der zweite zum größten Theil mit etwa nufsgroßen, rauhen Kalksteinstücken gefüllt war. Wellenförmige Stöfse, welche sich von L über u und X nach Yfortpflanzen, werden durch die vielen Reflexionen in der Füllung fast ganz vernichtet, während der Widerstand gegen die strömende Bewegung der Luft nicht beträchtlich ist. Ferner haben wir bei den meisten Versuchen zu den Leitungen u und w sehr lange Gummischläuche von etwa 3 Zoll Weite benutzt. Zwei Wasser-Manometer m und M zeigten den Druck, ersteres im Ballon Y, das zweite unmit-Das letztere war der den telbar unter dem Pfeifenhalse. Luftstrom regulirenden Hülfsperson unmittelbar sichtbar, indem ein Schlauch h die Verbindung von M bis q vermittelte. Es gelang nun leicht, wenigstens bei den schwächeren Erregungen der Pfeife, den Windstrom so constant zu erhalten, dass das Manometer M sich während der Versuche gar nicht merklich änderte. Allerdings erschienen die Interferenzstreifen während der stroboskopischen Schwingung stets etwas matter, als im Ruhezustande, jedoch nicht so sehr, dass es die Messungen gehindert hätte.

Es braucht wohl kaum erwähnt zu werden, dass sich sowohl die Pfeife, als auch die Lupe und der Taster auf gesonderten, soliden Unterstützungen befanden, damit außer der Luftschwingung nicht etwa anderweitige Erschütterungen im Gesichtsfelde gesehen werden konnten.

Schliefslich geben wir die wichtigsten Dimensionen des oben beschriebenen Apparates. Da zunächst eine Prüfung über die Genauigkeit der Messungen nöthig war, so wählten wir eine solche Pfeife, welche bei nicht zu starker Anregung voraussichtlich den Grundton möglichst rein liefert, d. h. eine im Verhältnifs zur Länge sehr dicke Pfeife. Unsere Pfeife sprach sehr gut an. Bei starkem Blasen, bei dem allerdings Obertöne hinzutraten, war der Klang sehr

voll und kräftig. Um den Grundton ganz in den ersten Oberton überspringen zu lassen, mußte jedoch mit einer ganz beträchtlichen Vehemenz geblasen werden. Alle Beobachtungen wurden mit Sonnenlicht gemacht, da Lampeulicht schon bei dreimaliger Reflexion zu lichtschwache Interferenzlinien gab.

Schwingungszahl der Pfeife pro Secunde 181,	
Länge der Pfeife	Allm.
Querschnitt der Pfeife 59 und 52 M	
Breite der Mundöffnung 52 N	
Höhe der Mundöffnung 17 M	
Dicke der Luftsäule zwischen den Glasplat-	
ten gg Fig. 3, Taf. IV	Allm.
Dicke der Glasplatten	
Breite der lichtgebenden Spalte bei den mei-	
sten Versuchen 0,4 I	Mllın.
Excursionen der schwingenden Spalten . 5 bis 6 I	
Abstand von v bis g in Fig. 3, Taf. IV 4500 M	
Abstand von der Pfeife bis zur Lupe 750 I	
Aufserdem sey noch erwähnt dafs es viel hememe	

Aufserdem sey noch erwähnt, dass es viel bequemer ist, während der Versuche die Pfeise und nicht die Gabel abzustimmen. Die Pfeise besitzt daher neben der Mundspalte zwei Schieber, (l in Fig. 3) welche der Beobachter nur seitlich hervorzuziehen braucht, um die Pfeise tieser zu stimmen. Ferner braucht wohl kaum bemerkt zu werden, dass es sich für bestimmte Fälle der Untersuchung empfehlen würde, das Licht in der Längsrichtung durch die gedeckte Pfeise zu senden.

§. 2.

Luftschwingung in der gedeckten Pfeife.

Es wurde mit unserer Pfeife, welche wohl als eine sehr weite bezeichnet werden kann, zunächst die Luftschwingung bei möglichst mäßigem Anblasen analysirt. Da hierbei mit Sicherheit der einfachste Fall einer stehenden Welle zu erwarten war, (Helmholtz. Tonempfindungen Seite 152), so konnten wir an diesem Falle die Genauigkeit unserer Mes-

sungen prüfen. Alsdann wurde das Verfahren auf Schwingungen ausgedehnt, bei welchen Obertöne deutlich hervortraten.

Schwingungen bei schwachem Anblasen. Bei 28mm Wasdruck (es ist stets der bei q Fig. 3 gemessene zu verstehen) begann die Pfeife zu tönen, jedoch matt. Der Druck wurde auf 40mm gesteigert und dort constant erhalten. Beobachtung war das Fadenkreuz auf den mittleren dunklen Streifen der Interferenzerscheinung Fig. 5 Taf. IV eingestellt. Es zeigt sich nun beim Tönen, dass die Excursionen der Streifen nach oben und unten, soweit man schätzen konnte. gleich waren. Die Streifen rückten etwa um den Abstand x bis y der Fig. 5 auf und nieder, was vorläufig andeutete, dass bei unserer Pfeife Verdichtungen und Verdünnungen gleich waren. (Nach den Versuchen von Kundt ist diess je nach der Stellung der Mundspalte durchaus nicht bei allen Pfeifen der Fall). Die Gesammtverschiebung der Streifen wurde vorläufig auf etwa das 2,4 bis 2,5 fache des Abstandes zweier dunkler Streifen geschätzt. (Diesen Absland nennen wir in der Folge kurz »Streifenabstand «).

Nun wurde diese Schwingung registrirt. Es ist aus Fig. 5 ersichtlich, dass bei einer Halbschwingung zwischen x und y drei Minima und zwei Maxima der Helligkeit durchs Fadenkreuz gehen mussten, welche auf dem Papierstreifen (Fig. 6) Gruppen von je fünf Punkten lieferten. leicht einzusehen, dass in der Fig. 6 A dem mittleren, C und C' den beiden äußeren dunkeln Streifen entsprechen, während B und B' die Durchgangspunkte der beiden Helligk eitsmaxima sind. Die Punkte D und D' gehören den beiden benachbarten Halbschwingungen an. Halbirt man die Abstände DC und C'D', so stellen die Halbirungspunkte E' und E offenbar den Anfang und das Ende unserer Halbschwingung dar, Schon der blosse Anblick der Punktreihe zeigte, dass bei dieser Tonstärke die Schwingungsform kaum wesentlich von einer einfachen Pendelbewegung abweichen kann. Der Umstand, dass die Abstände DC, D'C' usw. der letzten Punkte benachbarter Halbschwingungen durchschnittlich denselben Werth hatten, bestätigte, dass bei unserer Pfeife Luftverdichtung und Verdünnung gleich groß waren, wenigstens innerhalb der Grenzen der Meßbarkeit.

Wir wollen zunächst nur die Bewegung der Interferenzstreifen als eine gegebene, stehende Schwingungs-Erscheinung im Auge behalten und erst später über den Zusammenhang mit der Luftbewegung in der Pfeife sprechen; dieser Zusammenhang ist jedoch ein äußerst einfacher. Jede pendelartige Bewegung der Luftsäule erzeugt eine pendelartige Bewegung der Streifen.

Es war nun zunächst zu untersuchen, bis zu welchem Grade der Annäherung die bei obigem schwachen Tone registrirten Streifenschwingungen mit einer einfachen Sinusbewegung übereinstimmen. Zu dem Ende wurden die registrirten Punktabstände bei einer größeren Zahl von Schwingungen gemessen. Es ist klar, dass die stroboskopische Erscheinung bei den Beobachtungen trotz aller Vorsicht bald rascher, bald langsamer verlief; da dieselbe ja aus dem Unterschiede zweier Schwingungserscheinungen entspringt, deren kleinste Schwankungen somit von großem Einflusse Von den registrirten Schwingungen wurden daher nur solche der Messung unterzogen, deren vorhergehende und nachfolgende möglichst gleichbeschaffen waren, während welcher also die Tonhöhe nicht bedeutend variirt haben konnte. Die Länge der in den folgenden Beobachtungsreihen gemessenen stroboskopischen Schwingungen betrug auf dem Papierstreifen zwischen 2,6 und 5 Secunden, je nach der Abstimmung von Pfeife und Gabel, welch letztere natürlich auf die Art der Streifenbewegung keinen Einfluss hat. Die mittlere Dauer unserer stroboskopischen Schwingungen war also etwa 3.8 Secunden.

Wir wollen nun die Zeit bei allen Schwingungen vom Durchgange des mittleren schwarzen Streifens, also vom Moment der Markirung des Punktes A in Fig. 6 Taf. IV zählen. Für den Fall einer einfachen Pendelbewegung ist dann die Ausweichung des mittleren Streifens zur Zeit t gegeben durch die bekannte Formel

$$y = a \sin \frac{2\pi t}{T} \qquad (1).$$

Wir wollen ferner zur Messung dieser Ausweichungen die Distanz zweier schwarzer Streifen als Einheit wählen. Versliefst nun von der Markirung von A bis zu derjenigen des Punktes B (Fig. 6) die Zeit t_1 , so ist hier $y = \frac{1}{2}$, da der Punkt B dem nächsten hellen Streifen entspricht. Wir erhalten also:

$$\frac{1}{2} = a \sin \frac{2\pi t_1}{T}$$
 (2).

Ebenso ergiebt sich

$$1 = a \sin \frac{2\pi t_2}{T} \quad (3),$$

wenn man t_2 die auf dem Papierstreifen zu messende Zeit der Markirung des Punktes C nennt, da C den Durchgang des nächst folgenden dunkeln Streifens bezeichnet. Ebenso ist noch auf dem Papierstreifen der Abstand AE als Maafs für die Zeit $\frac{T}{4}$ gegeben. Es ist klar, dafs sich dann verhalten müssen:

$$t_1:t_2:\frac{T}{4}=AB:AC:AE$$
 (4).

Ebenso muss sich verhalten

$$t_1:t_2:\frac{T}{A}=AB':AC':AE'$$
 (5).

Um nun aus einer größeren Anzahl von registrirten Schwingungen die Unregelmäßigkeiten thunlichst zu eliminiren, so wurden von allen brauchbaren Schwingungen auf dem Papierstreifen unmittelbar die drei Distanzen $BB' \rightleftharpoons b$, $CC' \rightleftharpoons c$ und $EE' \rightleftharpoons e$ gemessen und für die ganze Beobachtungsreihe die Summen sämmtlicher b, c und e gebildet, welche Summen wir mit e0, e1 und e2 bezeichnen wollen. Anstatt der Gleichungen (4) und (5) können wir dann schreiben:

$$t_1: t_2: \frac{T}{4} = \Sigma b ; \Sigma c: \Sigma e$$

oder

$$t_1 = \frac{\Sigma b}{\Sigma e} \cdot \frac{T}{4}$$
 und $t_2 = \frac{\Sigma c}{\Sigma e} \cdot \frac{T}{4}$.

Durch dieses Verfahren sind die Ungleichförmigkeiten jedenfalls am zweckmäsigsten eliminirt, weil in diesem Verfahren den stroboskopischen Schwingungen mit längerer Dauer (welche ohne Zweifel genauer registrirt wurden) ein größeres Gewicht beigelegt ist.

Substituirt man die Werthe für t_1 und t_2 in die Formeln (2) und (3), so müssen beide für a denselben Werth ergeben, wenn die Streifenbewegung in der That einer einfachen Pendelschwingung entspricht, oder wenn man

$$\beta = \frac{\Sigma b}{\Sigma e} \cdot \frac{\pi}{2}$$
 und $\gamma = \frac{\Sigma c}{\Sigma e} \cdot \frac{\pi}{2}$

nennt, so muss die Gleichung

$$\sin \gamma = 2 \sin \beta$$

erfüllt seyn.

Zwei vorläufige Beobachtungsreihen ergaben nun zunächst für b, c und e folgende Werthe in Mllm.

	I.			17.	
b	c	e	b	с	e
9 10 12 15 11 25 11,5 10 12 15	21 22 30 37 26 53 26 24 26 30,5	34 35 49 55 39 77 39 40 40 45,5	14 20 24,5 23 21 17 19 12,5 16	29 48 52 50,5 46 40 46 29 32,5 23	46,5 71 79 75 67 64 72 43 46 37
Σ b == 130,5	$\begin{array}{c} \Sigma c = \\ 295,5 \end{array}$	Σe = 453,5	Σb= 177	Σc == 396	Σe= 600,5

Das Verhältniss der drei Summen stimmt sehr gut überein. Berechnet man die Winkel β und γ in beiden Fällen, so ergiebt sich:

Aus der Beobachtungsreihe I.

$$\beta = 25^{\circ} 54'$$
 $\gamma = 58^{\circ} 39'$ $\sin \beta = 0.436802$ $\sin \gamma = 0.854005$

Aus den Beobachtuugen II.

$$\beta = 26^{\circ} 31'$$
 $\gamma = 59^{\circ} 21'$
 $\sin \beta = 0.446458$ $\sin \gamma = 0.860297$

Die Gleichung sin $\gamma = 2 \sin \beta$, welche die Bedingung ausdrückt, dass die Bewegung eine einfache Sinusbewegung sey, ist also sehr nahe erfüllt. Berechnet man aus Formel (2) die Amplitude und nennt sie a', nennt man ferner a'' die aus Formel (3) berechnete Amplitude der Streisenschwingung, so erhält man aus den Beobachtungen der Reihe I

$$a' = 1,1447$$
 $a'' = 1,1710$

aus der Reihe II

$$a' = 1,1200$$
 $a'' = 1,1624$.

Diess sind die einseitigen Excursionen der Interferenzerscheinung, daher die Gesammtverschiebung das doppelte dieser Werthe. Die Gesammtverschiebung war vorher auf 2,4 bis 2,5 geschätzt worden, was mit dem Ergebuiss der letzteren Werthe genügend übereinstimmt.

Hatten diese Vorversuche bereits ein zu Gunsten der Methode sprechendes Resultat geliefert, so mußte es uns wichtig erscheinen, einige mit größerer Sorgfalt ausgeführte Messungen nach derselben Art anzustellen. Es wurden daher noch drei Beobachtungsreihen mit ein wenig geringerer, aber constanterer Windstärke angestellt. Die bestgelungenen Aufzeichnungen wurden während der Beobachtung durch ein telegraphisches Zeichen kenntlich gemacht. Die daran vorgenommenen Messungen ergaben folgendes Resultat:

	uı.		Ì	ıv.		ļ	v.	
b	c	e	b	c	e	b	c	e
8,5 7 7,5 7 8 13 13 9 9 11 14 10 8	17,5 15,5 18 16 17,5 30 28,5 20 19 24 30 22 18	24,5 23 26,5 24 26,5 44 31,5 30 35 43 32 27	9 10,5 9,5 8,5 9 12 10,5 11 12 14	20,5 22 21 20 20,5 25 23 24 27,5	31 33 31 29 31 37 33,5 34 40 50	11,5 10 11,5 11 11 13 12,5 14 13	25 23 24 23 25 25 29 30 32 29	37 -35 36,5 33,5 36 42 44,5 46 42
$\Sigma b = 125$	$\Sigma b = 276$	Σe= 411	$\Sigma b = 106$	$\Sigma c = 237,5$	$\Sigma e = 349,5$	$\Sigma h = 107,5$	$\Sigma c = 240$	$\Sigma c = 352,5$

Werden hieraus wie oben die Werthe für β , γ , a' und a'' berechnet, so ergiebt sich:

	111	IV	v
β	27° 22′	27° 18′	27° 27′
γ	60 26′	61° 10′	61° 17′
sinβ	0,459683	0,458650	0,460974
sinγ	0,869782	0,876026	0,877006
α'	1,0877	1,0901	1,0846
α"	1,1497	1,1415	1,1402

Die Bedingung sin $\gamma = 2 \sin \beta$ oder a' = a'' ist also wiederum sehr nahe erfüllt, d. h. die Streifen haben jedenfalls sehr nahe eine einfache Sinusbewegung.

Um ein Urtheil über die Genauigkeit der Beobachtungsmethode zu gewinnen, entsteht zunächst die Frage, um wie viel die Lage der markirten Punkte geändert werden müßste, damit die Uebereinstimmung mit der einfachen Pendelbewegung eine vollkommene würde. Dieß findet sich leicht, wenn man den Werth von γ als richtig annimmt und β aus der obigen Bedingungsgleichung berechnet; mit anderen Worten, wir setzen auf dem Papierstreifen Fig. 6, Taf. IV die Punkte A, C und C^1 als im Mittel richtig markirt vor

aus und suchen, um wieviel die mittlere Lage von B und B^1 geändert werden müßte, damit die Bewegung dem einfachen Sinusgesetz entspricht. Legen wir dabei die Beobachtungsreihe V zu Grunde, welche mit ihrer Abweichung zwischen III und IV in der Mitte liegt, so findet sich daßs zu $\gamma=61^{\circ}$ 17' der Werth $\beta=26^{\circ}$ 1' gehört. Die Beobachtung ergab 27° 27', also eine Abweichung von nur 1° 26'. Da nun eine ganze stroboskopische Schwingung, welcher ein Winkel von 360° entspricht, im Mittel 3,8 Sec. dauerte, so ist der mittlere Fehler in der Zeitbestimmung der Punkte B und $B^1=0.0151$ Secunden, oder aber, man müßte diese Punkte auf dem Papierstreifen nur um je $0.3^{\rm mm}$ nach A hin verschieben, damit sie im Mittel der Voraussetzung einer einfachen Schwingung genügen.

Zunächst könnte man diese kleine Abweichung unvermeidlichen Fehlern (etwa der nicht absolut zu vermeidenden Spiegelerschütterung) zuschreiben. Dann ist aber dennoch die Genauigkeit unserer Methode eine sehr erfreuliche, denn bedenkt man, dass die Schwingungen, deren Dauer in Wirklichkeit 151 Sec. betrug, stroboskopisch auf 3,8 Sec., also im Verhältniss 1:688 verlangsamt erschienen, so beträgt die obige mittlere Abweichung von 0,015 Sec. auf absolutes Zeitmaas reducirt nur 0,000022 Secunden. Bis auf diese kleine Größe ist also die Zeitbestimmung nach unserer Methode mindestens genau.

Es kann bei Betrachtung der Beobachtungsresultate auffallen, dass sich jedesmal $\sin \gamma$ kleiner als $2 \sin \beta$ herausstellte. Diese Thatsache würde sich aus einem schwachen Mitklingen der Obertöne der Pfeife ganz gut erklären lassen. Mit Berücksichtigung der Obertöne müste nämlich die Excursion der Streifen statt durch Formel (1) in folgender Weise dargestellt werden:

$$y = a_1 \sin \frac{2\pi t}{T} + a_3 \sin \frac{6\pi t}{T} + a_5 \sin \frac{10\pi t}{T} + \dots$$
 (6)

da bei gedeckten Pfeisen die geraden Partialtöne sehlen. Behalten wir nur die beiden ersten Glieder der Reihe bei, so ergeben sich zur Berechnung der Coëfficienten a_1 und a_8 folgende Gleichungen:

$$\frac{1}{2} = a_1 \sin \beta + a_3 \sin 3\beta$$

$$1 = a_1 \sin \gamma + a_3 \sin 3\gamma$$

Man erhält aus den fünf Beobachtungsreihen folgende Werthe:

	a ₁	a_3	$2\left(a_{1}-a_{3}\right)$
 	1,1720 1,1631 1,1490 1,1399 1,1383	-0,0122 -0,0196 -0,0284 -0,0231 -0,0250	2,3684 2,3654 2,3548 2,3258 2,3266

Da die Tonstärke dem Quadrat der Amplitude der Streifenbewegung proportional gesetzt werden kann, so würde die Intensität des Grundtones jene des mitschwingenden Obertones um mehr als das 2000 fache übertreffen, wobei also letzterer neben dem ersteren für das Ohr allerdings verschwinden würde. Für die Zulässigkeit der obigen Erklärungsweise spricht jedenfalls die sehr große Uebereinstimmung in den Werthen von a, namentlich bei den letzten Beobachtungsreihen. Das negative Zeichen, welches sich aus allen Beobachtungen für a, ergiebt, hat den Sinn, dass sich Grundton und Oberton in der Weise übereinander legen, wie es in Fig. 7, Taf. IV veranschaulicht ist. In dieser Figur sind die punktirten Linien einfache Sinuscurven, also die getrennten Darstellungen des Grund- und Obertons. Der Oberton macht Berg und Thal der Welle spitzer 1). Wenn man also ein sehr schwaches Mitklingen des ersten Obertones der gedeckten Pfeife als Ursache der übereinstimmenden Abweichung unserer Messungen vom einfachen Sinusgesetzt gelten lässt, so darf als constatirt betrachtet werden, dass bei sehr schwacher Anregung unserer Pfeife Grundton und erster Oberton sich derart zusammensetzen, dass bei beiden die Maxima und Minima der Dichtigkeit zusammenfallen. Bei sehr starker Anregung ist,

In der Zeichnung ist übrigens der Oberton im Verhältnis viel zu stark angenommen.

wie weiter unten ganz unzweifelhaft zu ersehen; das Verhältnis gerade das umgekehrte.

Die in der dritten Columne zusammengestellten Werthe von $2(a_1 - a_3)$ geben die berechnete Totalverschiebung der Interferenzstreifen unter der Annahme des gleichzeitigen Vorhandenseins der beiden obigen Partialtöne. Diese Werthe stimmen noch besser, als die früher berechneten Werthe 2a' und 2a'' mit der anfänglichen Schätzung der Totalverschiebung (2,4 bis 2,5 Streifenabstände). Es erscheint also die Annahme des Obertones trotz der Kleinheit der aus den Messungen gefolgerten Werthe immerhin als eine sehr wahrscheinliche.

Aus der Bewegung der Interferenzfigur lässt sich nun leicht der Dichtigkeitswechsel der Luft an der betreffenden Stelle der Pfeife berechnen. Nennen wir l die Länge des Weges, welchen das Licht zwischen unseren Glasplatten durchwandert, ferner \(\lambda \) die Wellenlänge des Lichtes in Luft von normaler Dichte, so entfallen auf jenen Weg bei normaler Luftdichte 1/1 Lichtwellen. Sobald die Luftdichte eine Veränderung erfährt, ändert sich ihr Brechungsquotient und die Wellenlänge des Lichtes, und zwar ist die neue Wellenlänge $\lambda' = \frac{n}{n'} \lambda$, wenn n der ursprüngliche, n' der neue Brechungsquotient der Luft ist. Die Anzahl der Wellenlängen, welche jetzt auf den Weg l entfallen, ist $\frac{l}{v}$. Differenz dieser Zahl und der früher auf den Weg l kommenden Wellenzahl ist aber offenbar die Zahl der Interferenzstreifen, um welche sich die Erscheinung bei der Dichtigkeitsänderung der Luft in der Pfeife verschoben hat. Dieselbe ist also

$$k = \frac{l}{\lambda'} - \frac{l}{\lambda} = \frac{l}{\lambda} \cdot \frac{n' - n}{n}.$$

Nun kann n^2-1 und bei Gasen jedenfalls auch n-1 der Dichte proportional gesetzt werden. Bezeichnet daher ϱ die ursprüngliche, ϱ' die geänderte Luftdichte, so ist $\varrho'-\varrho$ die Verdichtung,

$$\frac{\varrho'-\varrho}{\varrho}=\frac{n'-n}{n-1}$$

und

$$k = \frac{(n-1)l}{n\lambda} \cdot \frac{\varrho' - \varrho}{\varrho}.$$

Es entspricht also der Verschiebung der Interferenzlinien um einen Streifenabstand die Dichtigkeitsänderung

$$\varrho^1 - \varrho = \varrho \cdot \frac{n\lambda}{(n-1)\,l}.$$

Da die Dicke der Luftsäule zwischen den Glasplatten $58,5^{\text{mm}}$ war und dieselbe vom Lichte neun Mal durchlaufen wurde, so ist $l=526,5^{\text{mm}}$ zu setzen. Da ferner n=1,000294 und $\lambda=0,000575^{\text{mm}}$, so ergiebt sich

$$e^1 - e = e \cdot 0.0037$$
.

Wir ersehen also, dass die Verdichtung in aliquoten Theilen der normalen Luftdichte erhalten wird, indem man die Anzahl der Streisen, welche das Fadenkreuz passirten, mit 0,0037 multiplicirt. Bei obigen Versuchen betrug die Totalverschiebung etwa 2,4 Streisenabstände. Daraus ergiebt sich der Unterschied zwischen der größten und kleinsten Dichte der schwingenden Luft im Knoten unserer Pfeise — 0,00888 mal der normalen Luftdichte.

Um hieraus die Veränderung des Luftdruckes zu finden, muß man berücksichtigen, daß die Temperaturänderungen, welche den raschen Dichtigkeitswechsel begleiten, die Druckschwankungen vergrößern. Man hat die obige Dichtigkeitsänderung mit 1,41 zu multipliciren, um die Druckveränderung zu finden. Die Differenz des größten und kleinsten Luftdrucks im Knoten betrug also bei obigen Versuchen 0,0124 Atmosphären.

Aus dem Gesetz der Dichtigkeitsänderung im Knoten kann endlich das Schwingungsgesetz für jede beliebige Stelle der Pfeife gefunden werden. Da die Dichtigkeitsänderung in unserem Falle sehr nahe das einfache Sinusgesetz befolgte, so muß auch die Luftbewegung in jedem Querschnitt sehr nahe eine einfache Pendelschwingung seyn. Daher

stellt sich die Excursion ξ eines Lufttheilchens im Abstande x vom Knoten zur Zeit t durch folgende Formel dar:

$$\xi = A \sin \frac{2\pi t}{T} \cdot \sin \frac{2\pi x}{cT}$$

wobei die Zeit t vom Durchgange der Lufttheilchen durch die Ruhelage gezählt wird. In der Formel ist T die Schwingungsdauer $=\frac{1}{181}$ Secunde, c die Schallgeschwindigkeit (340 Meter für unser Beobachtungslocal). Ferner ist $\frac{c}{4}$ die theoretische Pfeifenlänge $=470^{\rm mm}$. Sie ist so beträchtlich größer, als die wirkliche Länge wegen des großen Querschnittes der Pfeife. Der Coëfficient A ergiebt sich unmittelbar aus dem früher bestimmten Werthe für die Verdichtung. Es ist nämlich, wenn man die normale Luftdichte zur Einheit wählt, und wenn man Glieder höherer Ordnung vernachlässigt, die Dichte zur Zeit t ausgedrückt durch

$$1 - \frac{\partial \xi}{\partial x} = 1 - \frac{2\pi A}{cT} \cdot \sin \frac{2\pi t}{T} \cdot \cos \frac{2\pi x}{cT}.$$

Ihr größter Werth im Knoten ist daher $1 + \frac{2\pi A}{cT}$, ihr kleinster $1 - \frac{2\pi A}{cT}$, also der maximale Dichtigkeitsunterschied $= \frac{4\pi A}{cT}$. Diese Differenz wurde oben ermittelt; sie betrug = 0,00888. Daher ergiebt sich $A = 1,32^{\text{mm}}$. Mit dieser Bestimmung von A ist die Schwingungsamplitude der Lufttheilchen in jedem Querschnitt der Pfeife gegeben. So wird z. B. die Bewegung der Theilchen in der Nähe der Mundöffnung der Pfeife, wo $x = 360^{\text{mm}}$ zu setzen ist, ausgedrückt werden durch

$$\xi = A \sin \frac{2\pi t}{T} \cdot \sin \frac{2\pi \cdot 360}{1878}$$

= 1,241 \sin \frac{2\pi t}{T} Mllm.

Die Totalverschiebung (doppelte Amplitude) eines Lufttheilchens im Innern der Pfeife nahe der Mundöffnung war also bei unserem Tone $=2,482^{\rm mm}$. In der Mundöffnung selbst beträgt der Weg eines Theilchens wegen des verringerten Querschnitts = 8,116^{mm}. Wenn wir die Resultate noch einmal zusammenstellen, so erhielten wir beim Anblasen der Pfeife mit etwa 40^{mm} Wasserdruck:

Dichtigkeitsänderung im Knoten in aliquoten Theilen der Normaldichte = 0,00888.

Weg eines Theichens in der Mund-

öffnung selbst $\ldots = 8,116$ Mllm.

Pfeifenklang bei starkem Anblasen. Außer den obigen, mehr zur Controle unserer Beobachtungsmethode ausgeführten Messungen, welche ein günstig zu nennendes Resultat lieferten, machten wir noch eine Messung bei bedeutend stärkerem Anblasen der Pfeife, um den Einfluss starker Obertone zu bestimmen. Der Luftstrom wurde soweit verstärkt, bis das Manometer unter dem Pfeifenhalse 24mm Ouecksilberdruck zeigte. Der Ton der Pfeife war hierbei sehr stark und voll, die Obertone (wenigstens der erste) deutlich hörbar, der Grundton jedoch war vorherrschend. Die gesammte Verschiebung der Interferenzfigur betrug 4 bis 4,5 Streifenabstände, indem abwechselnd die Streifen m und n der Fig 5, Taf. IV ins Fadenkreuz rückten. der allmäligen Steigerung des Luftdruckes im Blasebalg hatte es sich gezeigt, dass die Tonintensität anfangs zwar rasch, später aber in weit geringerem Maasse wächst. Zusammenhang zwischen Tonstärke und Manometerdruck kann nach unserer Methode sehr genau ermittelt werden und bleiben hierfiber noch weitere Mittheilungen vorbehalten. Die Tonhöhe änderte sich bei verstärktem Anblasen sehr merklich.

Indem nun obiger Luftstrom möglichst constant erhalten und Pfeife und Gabel wiederum abgestimmt wurden, zeigte sich jedoch eine auffallende Veränderung in der Bewegungs art der Interferenzlinien. Ein Blick, genügte, um zu erkennen, dass es sich hier nicht um eine einfache Pendelschwin-

gung handelte. Die Streifen verharrten während des weitaus größeren Theiles der Schwingungszeit unbeweglich in ihren extremen Lagen. Der Uebergang aus der höchsten Stellung in die tiefste (und umgekehrt) erfolgte nach jeder Halbschwingung fast sprungweise, was einen ganz eigenthümlichen Anblick gewährte und das genaue Registriren aller einzelnen Streifendurchgänge unmöglich machte, abgesehen davon, dass bei dieser Tonstärke unser Gebläse nicht geeignet war, einen ganz constanten Luftstrom zu erzielen. eine Markirung der einzelnen Durchgänge der dunklen Streifen möglich gewesen, so wäre die registrirte Schwingung etwa ausgefallen, wie es Fig. 8 Taf. IV zeigt. langen Pausen bedeuten die höchste und tiefste Lage der Streifen, die fünf dichtgedrängten Punkte die kurze Zeit des Ueberspringens in die andere Lage. Wir mussten uns unter diesen Umständen damit begnügen, je eine Schwingung durch vier Punkte wie CA und BD in Fig. 9 aufzuzeichnen, und zwar bedeutet C z. B. den Anfang, A das Ende der Aufwärtsbewegung, A bis B bedeutet die Zeit, während welcher die Streifen in der höchsten Lage zu ruhen schienen, BD bedeutet endlich die Zeit, während welcher die Streifen wieder in die tiefte Lage hinabsanken, um dortselbst wiederum eine längere Zeit zu ruhen. Die Bewegung während des Auf- und Abwärtsspringens schien, so weit sich beurtheilen liefs, eine gleichförmige zu sevn. Trägt man daher die Zeit als Abscisse, die Excursionen der Streifen als Ordinaten auf, so giebt die Fig. 10 Taf. IV ein möglichst annäherndes Bild der Streifenbewegung. Die Zeitabstände der Punkte C' A' B' D' sind die auf dem Papierstreifen registrirten vier Punkte. Das Registriren selbst dieser vier Punkte war sehr schwierig, weil der plötzliche Uebergang von Ruhe in rasche Bewegung den Beobachter stets überrascht und unsicher macht. Daher gelang es nicht, unmittelbar nach einander mehrere Schwingungen zu verfolgen, vielmehr konnte nur mit Unterbrechungen registrirt werden. Gemessen wurden (siehe Fig. 9 Taf. IV) die Abstände CA, AB und BD. Als Beispiel geben wir einige Schwingungen.

CA	AB	BD	
2,7 Mllm.	6,5 Mllm.	2,7 Mllm.	
ىد 4,0	11,5 »	5,2 »	
3,5 »	10,5	3,7 »	
5,0 »	13,0 »	ه 5,2	
5,5 »	15,7 »	7, 0 »	

Die Uebereinstimmung muß unter obigen Rücksichten eine befriedigende genannt werden. Es ergiebt sich, daß die Zeit, während welcher die Streifen stillstanden, 2,52 mal so groß war, als die Zeit der Auf- oder Abwärtsbewegung. Nimmt man, um die Intensität der Partialschwingungen zu berechnen, an, daß die Stücke C'B' und A'B' der Schwingungscurve Fig. 10 geradlinig seyen, was jedenfalls der Wahrheit am nächsten kommt, so stellen sich die Elongationen wiederum durch die Reihe dar:

$$y = a_1 \sin \frac{2\pi t}{T} + a_3 \sin \frac{6\pi t}{T} + a_b \sin \frac{10\pi t}{T} + \dots$$

Für die Coëfficienten dieser Reihe finden sich folgende Werthe:

$$a_1 = 2,6512$$
 $a_8 = 0,6698$
 $a_5 = 0,2011$
 $a_7 = 0,0077$
 $a_9 = -0,0566$.
etc. etc.

Diess sind die Amplituden der Partialschwingungen, welche unsere Bewegung der Interferenzstreifen zusammensetzen. Bei der Rechnung ist die Totalverschiebung der Streifen (2AA' Fig. 10 Taf. IV) = 4,3 zu Grunde gelegt, wie es die Beobachtung im Mittel ergab. Die Amplitude des ersten Obertones ist also 3,958 mal, seine Intensität 15,665 mal kleiner, als die des Grundtones.

Will man von der Reihe für y nur die beiden ersten Glieder unter Vernachlässigung der übrigen berücksichtigen, so ergiebt sich eine Bewegung, wie sie durch Fig. 11 dargestellt ist, welche jedoch offenbar der Wahrheit weniger nahe käme. Für diese Annahme berechnen sich a_1 und a_3

sehr einfach, da die Curve Fig. 11 Taf. IV die Punkte A', E' und B' mit der Curve Fig. 10 gemein haben muß. Aus dieser Bedingung findet sich

$$a_1 = 3,0347$$

 $a_3 = 0,8847$,

also das Verhältniss der Amplituden von Grundton und erstem Oberton = 3,43, das Verhältniss der Intensitäten = 11,77, welche Werthe von den unter der vorigen Voraussetzung gefundenen nicht allzusehr abweichen.

Es ist hervorzuheben, dass der Coëfscient a_3 jetzt positiv erscheint, d. h. Grundton und erster Oberton setzen sich bei starker Anregung unserer Pfeise unzweiselhaft so zusammen, dass das Verdichtungsmaximum des ersteren mit dem Minimum des zweiten zusammenfällt, also umgekehrt, wie es bei sehr schwachem Anblasen vorausgesetzt werden konnte.

Da der Verlauf der Luftverdichtung durch dieselbe Curve Fig. 10 dargestellt wird, so sieht man, das die Dichtigkeitsänderung in der Pfeife jetzt nicht mehr stetig geschieht, sondern dass dieselbe aus fast plötzlichen Verdichtungs- und Verdünnungsstösen besteht, welche die Pfeife mit der Schallgeschwindigkeit durchlaufen. Es steht dies in guter Uebereinstimmung mit Riemann's Untersuchungen über Luftschwingungen mit endlicher Amplitude, welche zu dem Resultate führen, dass sich bei intensiven Luftschwingungen immer derartige Verdichtungsstöse bilden müssen.

Was nun den Unterschied zwischen der größten und kleinsten Dichte im Knoten der Pfeise betrifft, so berechnet sich derselbe in analoger Weise, wie im ersten Falle. Er betrug 0,01887, der normalen Luftdichte, wobei auf einen kleinen Einflus der Spiegelerschütterung Rücksicht genommen ist, welche hier schon anfing, sehr merklich zu werden. Der Unterschied zwischen dem größten und kleinsten Luftdruck war 0,02242 Atmosphären, die Totalverschiebung eines Lufttheilchens im Schwingungsbauch fand sich = 5,275 Mllm., in der Mundöffnung = 17,24 Mllm.

Wurde die Pfeife mit 30 Mllm. Quecksilberdruck angeblasen, so fand sich aus der Streifenverschiebung ein Unterschied des Maximal- und Minimaldruckes im Knoten von 0,03366 (etwa $\frac{1}{30}$) Atmosphären. Bei noch stärkerem Anblasen schlug der Ton gänzlich in den ersten Oberton um. Es sey bemerkt, dass die letztere, stärkste Druckschwankung beim Tönen unserer Pfeife noch bei weitem nicht den von Kundt an seiner Pfeife gefundenen Werth von $\frac{1}{16}$ Atmosphären erreicht. Die Kundt'sche Pfeife wurde also wohl ganz erstaunlich stark angeblasen.

§. 3.

Bemerkung über die Intensität der Luftbewegung an der Gränze der Hörbarkeit des Schalles.

Da sich durch die vorhergehenden Versuche Boltzmann's Vorschlag als sehr geeignet zur Vervollkommnung vibroskopischer Untersuchungen über Luftschwingungen erwiesen hatte, so schien es uns nicht uninteressant, wenigstens eine beiläufige Ermittelung der Amplitude der Luftbewegung im freien Raume an der Gränze der Hörbarkeit eines schwachen Tones zu versuchen. Die Dichtigkeitsänderungen im freien Raume sind so klein, dass unser Apparat noch einer bedeutenden Verfeinerung bedurft hätte, um dieselben direct zu messen. Allein man kann sich bei dieser Frage auf die theoretischen Untersuchungen von Helmholtz stützen (Crelle's Journal für Mathematik), nach welchen die Intensität der Bewegung für einen entfernten Punkt des freien Raumes berechnet werden kann, wenn die Bewegung in einer tönenden Röhre gegeben ist. kann also auch aus der Entfernung, in welcher ein Pfeifenton von bekannter Stärke für's Ohr verlischt, die daselbst vorhandene Schwingungsweite finden.

Obwohl die Voraussetzungen, welche Helmholtz bei Ableitung seiner Formeln macht, von den Bedingungen unseres Versuches etwas abweichen, so dürfte doch die Menge des von der tönenden Röhre abgegebenen Schalles in beiden Fällen wenigstens der Größenordnung nach nicht verschieden seyn, und auf eine größere Genauigkeit, als die Bestimmung der Größenordnung der Schallintensität an der Grenze der Hörbarkeit machen unsere Versuche vorläufig keinen Anspruch.

Wir begaben uns mit unserer oben beschriebenen Pfeife sammt Manometer auf einen freien Platz in der Nähe der Stadt und bliesen die Pfeife möglichst genau mit derselben Stärke an, wie es bei den fünf ersten Versuchsreihen der vorigen Abhandlung der Fall war (Windstärke = 40 Mllm. Wasserdruck, Amplitude nahe der Mundöffnung 2,48 Mllm.). Alsdann bestimmten wir die Entfernung, in welcher der Ton für ein gutes Ohr unhörbar wurde. Als Mittel aller Versuche, welche zur Hälfte in der Richtung des herrschenden Windes, zur Hälfte gegen dieselbe gemacht wurden, ergaben sich 115 Meter.

Helmholtz fand für das Geschwindigkeitspotential im freien Raume den Ausdruck

$$\psi = -\frac{AQ}{2\pi} \cdot \frac{\cos(k\varrho - 2\pi nt)}{\varrho}, \qquad (1)$$

für das in der Pfeife:

$$\psi = \frac{A}{k \cos k \alpha} \sin k (x - \alpha) \cos 2\pi nt - \frac{AkQ}{2\pi} \cos kx \sin 2\pi nt \qquad (2),$$

wobei wir bezüglich der Bezeichnung auf die Abhandlung von Helmholtz verweisen. In der letzten Formel ist das zweite Glied klein gegen das erste; dasselbe muß bei der Anwendung auf unsere Pfeife, bei welcher die Rückwand fest war, weggelassen werden, wie sich aus der Bedeutung dieses Gliedes ergiebt. Erlaubt man sich diese Vereinfachung, so tindet man für die Differenz der größten und kleinsten Luftdichte im Knoten in aliquoten Theilen der normalen Luftdichte den Werth:

$$d = \frac{Ak}{\pi n \cos k \alpha}.$$

Aus der ersten Formel aber ergiebt sich, wenn man die Constante A aus der eben gefundenen Gleichung bestimmt, für den Weg, welchen ein in der Distanz ϱ von der Pfeifenmündung befindliches Lufttheilchen im freien Raume während einer Halbschwingung vollführt, der Werth

$$y = \frac{\Delta \cdot Q \cdot \cos k \alpha}{2 \pi \rho}.$$

Hierbei ist Q der Querschnitt der Pfeife (nicht der Pfeifenmündung), α die Differenz zwischen der wahren und der sogenannten theoretischen Pfeifenlänge, $\frac{\pi}{2k}$ aber die theoretische Pfeifenlänge selbst ($\frac{1}{4}$ Wellenlänge des Pfeifentones).

Bei unserem Versuche nun war

d = 0,009 Q = 3068 Quadrat-Mllm. $\alpha = 109,5$ Mllm. $\frac{\pi}{2k} = 469,5$ Mllm.

daher $k\alpha=20^{\circ}\,59'$ im Winkelmaß. Hieraus ergiebt sich der Weg eines Lufttheilchens in der Entfernung $\rho=115000$ Mllm. von der Pfeifenmündung, in welcher der Ton unhörbar wurde, also die Schwingungsweite an der Gränze der Hörbarkeit gleich

0,00004 Mllm.,

das ist etwa 1 von der Wellenlänge des grünen Lichtes.

Diese Kleinheit der Amplitude zeigt, wie erstaunlich empfindlich das Gehörorgan für musikalische Töne ist. Wir müssen ausdrücklich hervorheben, dass die Versuche um die Mittagszeit angestellt wurden, zu welcher Zeit das Tagesgeräusch aus der nahen Stadt nicht ausgeschlossen war. Ein feines, völlig ausgeruhtes Ohr würde gewiss in der Nacht noch viel kleinere Amplituden wahrnehmen.

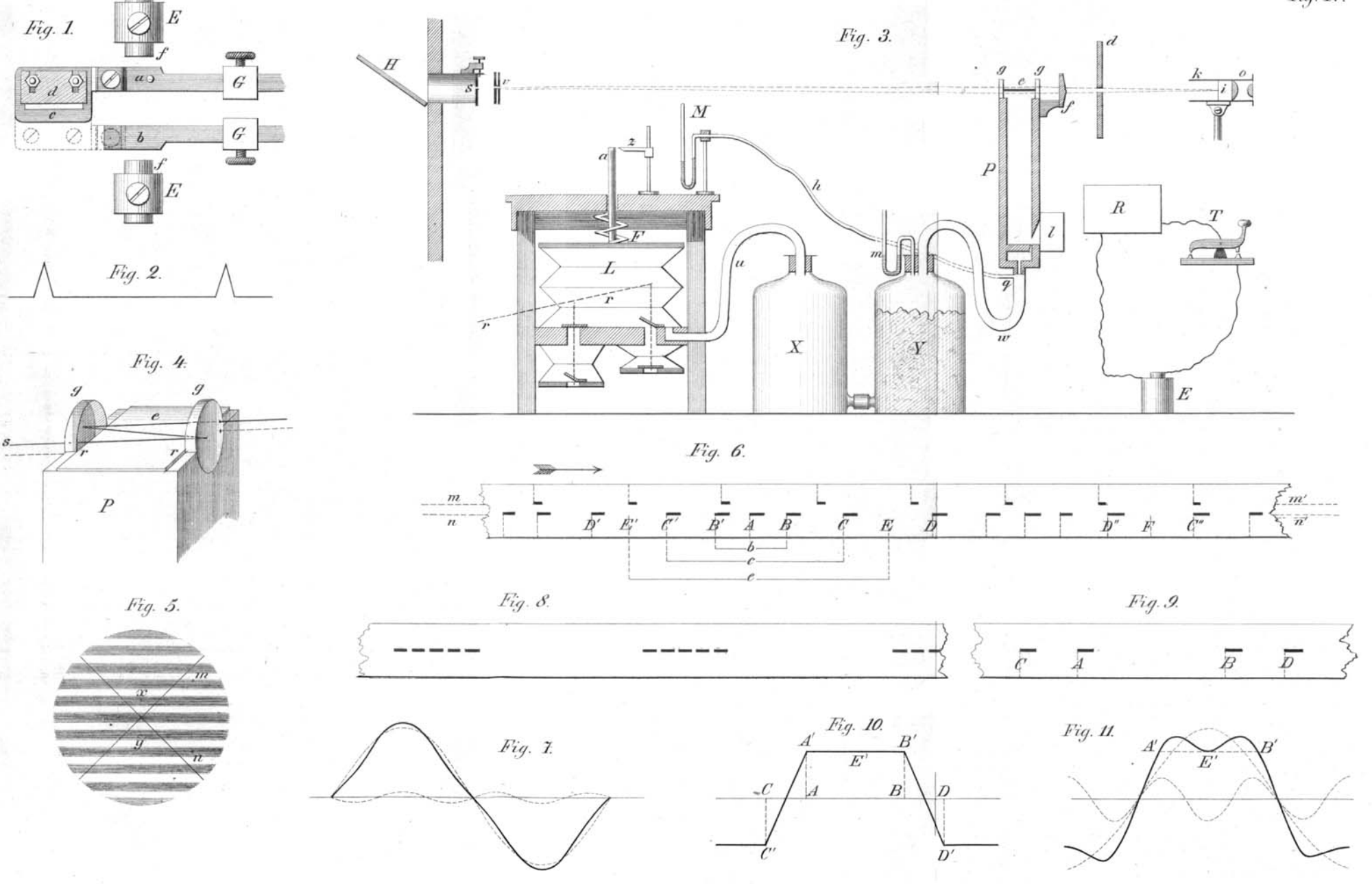
Folgende Resultate sind nun leicht durch Rechnung zu finden. Die totale Dichtigkeitsänderung während der Schwingung beträgt an der Gränze der Hörbarkeit nach obigen

Versuchen 13/100 Millionen der normalen Luftdichte. Berechnet man ferner die mechanische Arbeit, welche an der Gränze der Hörbarkeit durch den Quadratmillimeter exponirter Fläche pro Secunde geht, so ergiebt sich für dieselbe

An das Ohr werden also in der Secunde etwa $\frac{1}{3 \text{ Billionen}}$ Klgrmeter abgegeben, wenn man den Querschnitt des Gehörganges auf 33 Quadrat-Mllm. schätzt.

Man wird bei der erstaunlichen Kleinheit dieser mechanischen Arbeit unwillkürlich aufgefordert, die Empfindlichkeit des Ohres für Schall mit der des Auges für Licht zu vergleichen. Folgende Zahlenangabe mag der Abschätzung halber hier erwähnt werden. Nach Thomsen (Pogg. Ann. Bd. 125, S. 389) sendet eine Kerze, welche per Stunde 8,2 Grm. Walrath verzehrt, in der Secunde $\frac{1}{35}$ Kilogrmtr. in Form von Strahlung aus. Davon kommen also auf 1 Quadrat-Mllm. in 115 Meter Distanz $\frac{1}{5740000~\text{Millionen}}$ Klgrmeter, also etwa 17 mal mehr, als unsere Pfeife in jener Entfernung in Form von Schall an lebendiger Kraft durch der Quadrat-Mllm. hindurchstrahlt.

Es ist also unsere Pfeise eine weit schwächere Quelle von lebendiger Kraft als jene Kerze, und man ersieht aus diesen allerdings nur approximativen Zahlen, das das menschliche Ohr in der Perception der ihm zugedachten Schwingungsarbeit mit dem Auge an Empfindlichkeit rivalisiren kann.



A. Solvitze Sith Frest Beelin!

Ann. d. Phys. w. Chem. Bd. CXLL St. 3.